

КОНФЕРЕНЦИИ И СИМПОЗИУМЫ

**Научная сессия Отделения физических наук
Российской академии наук
"Методы колебательно-волновой физики
в задачах и приложениях нейронауки"**

(31 октября 2007 г.)

PACS number: 01.10.Fv

DOI: 10.3367/UFNr.0178.200803f.0313

31 октября 2007 г. в конференц-зале Физического института им. П.Н. Лебедева РАН состоялась Научная сессия Отделения физических наук Российской академии наук "Методы колебательно-волновой физики в задачах и приложениях нейронауки". На сессии были заслушаны доклады:

1. **Некоркин В.И.** (Институт прикладной физики РАН, Нижний Новгород). *Нелинейные колебания и волны в нейродинамике*.

2. **Безручко Б.П.** (Саратовский государственный университет, факультетnano- и биомедицинских технологий, Саратов), **Пономаренко В.П., Прохоров М.Д., Смирнов Д.А.** (Саратовский филиал Института радиотехники и электроники РАН, Саратов), **Tass P.A.** (Tass P.A.) (Research Center Juelich, Institute of Neuroscience and Biophysics 3-Medicine, Juelich, ФРГ). *Моделирование и диагностика взаимодействия нелинейных колебательных систем по хаотическим временным рядам (приложения в нейрофизиологии)*.

Краткое содержание докладов публикуется ниже.

PACS numbers: **05.45. – a, 05.45.Xt, 87.10. + e**
DOI: 10.3367/UFNr.0178.200803g.0313

**Нелинейные колебания и волны
в нейродинамике**

В.И. Некоркин

1. Введение

1.1. Нелинейно-динамический подход

Последнее десятилетие характеризуется увеличивающимся проникновением методов нелинейной динамики в нейронауку. Получен ряд интересных результатов о динамике нейронных систем, многие виды нейронной активности получили адекватную интерпретацию в терминах теории динамических систем. Такие понятия, как регулярные и хаотические атTRACTоры, устойчивость, область притяжения, бифуркации и др., прочно вошли в обиход целого направления, связанного с изучением

различных аспектов мозговой активности методами нелинейной динамики. Формирование этого направления вполне объяснимо. Во-первых, благодаря значительному прогрессу в развитии методов регистрации нейронной активности (оптический нейроимиджинг, позитронно-эмиссионная томография, магниторезонансное изображение и др.) получено большое число новых экспериментальных данных о режимах как отдельных нейронов, так и целых нейронных систем. Эти результаты послужили фундаментом для многих современных исследований в области нелинейной динамики нейронных систем. Во-вторых, теория динамических систем также получила значительное развитие. Сейчас построена, в основном, теория бифуркаций многомерных динамических систем и, в частности, достаточно полно изучена теория перехода от детерминированного поведения к хаотическому, проведено исследование нелинейных волн и локализованных состояний во многих пространственно-распределенных системах и др. Наконец, в-третьих, сама эволюционная природа и свойства режимов нейронных систем стимулируют привлечение методов нелинейной динамики в нейронауку. Действительно, характерными свойствами нейронных систем являются следующие:

- а) диссипативность динамики;
- б) компенсация потерь за счет действия внешних источников, возникающих в результате сложных биохимических процессов;
- в) активность элементов — нейронов, способных генерировать разнообразные типы электрических колебаний: от простых одиночных импульсов до хаотических.

С другой стороны, свойства, указанные в пунктах а–в, являются типичными характеристиками автоколебательных систем — важнейшего класса систем нелинейной физики. Основополагающие положения и идеи теории автоколебательных систем принадлежат А.А. Андронову. Им было введено само понятие автоколебаний и показано, что адекватными образами периодических колебаний являются предельные циклы Пуанкаре, бифуркации которых во многих физических системах описывают и объясняют нелинейные механизмы рождения и исчезновения разнообразных по форме периодических колебаний и биений. Несмотря

на то, что акцент современной теории автоколебаний сместился в сторону изучения более сложных, в частности хаотических, колебаний, в ее основе по-прежнему лежат заложенные А.А. Андроновым [1–3] следующие динамические принципы:

1) выделение и исследование в первую очередь структурно устойчивых (грубых) систем и явлений, которые при малых вариациях параметров принципиально не изменяют своего поведения, т.е. изучение общих ситуаций;

2) анализ структуры разбиения фазового пространства (пространства состояний) системы на траектории, включающий в себя в первую очередь исследование аттракторов (состояний равновесия, предельных циклов, инвариантных торов, хаотических предельных множеств), гомоклинических, гетероклинических орбит и сепаратрисных инвариантных многообразий, что позволяет охарактеризовать все возможные типы поведения системы;

3) исследование эволюции колебательно-волновых процессов при изменении контрольных параметров и выявление бифуркаций, определяющих принципиальную перестройку этих процессов.

На наш взгляд, приложение этих принципов к исследованию нейронных систем представляется вполне обоснованным и привлекательным. Заметим, что важность автоколебаний для биологических систем отмечалась еще А.А. Андроновым. В своей знаменитой работе [4] "Предельные циклы Пуанкаре и теория автоколебаний", говоря о примерах автоколебательных систем, он отмечал: "... в механике — маятник Фrouда, в физике — ламповый генератор, в химии — периодические реакции, аналогичные задачи возникают в биологии". Однако развитие нелинейно-динамического подхода для нейронных систем наталкивается на значительные трудности, связанные с их необычностью и сложностью. Вот лишь некоторые из таких свойств [5–8]: наличие у малых ансамблей нейронов и даже у отдельных нейронов большого числа переменных и параметров; сложные, многочисленные и чаще всего нелокальные связи между нейронами; отсутствие моделей нейронных систем, полученных из первых принципов, т.е. из некоторых хорошо известных и общепринятых базовых уравнений (таких, например, как уравнения Максвелла), что характерно для физических систем; отсутствие во многих случаях понимания архитектуры нейронных систем и принципов межсистемных взаимодействий. Тем не менее, несмотря на трудности, далеко не полный список которых приведен выше, нелинейно-динамический подход уже достаточно давно успешно применялся и продолжает эффективно развиваться в наше время (см., например, обзоры [8–14]).

Таким образом, основные задачи нелинейно-динамического подхода заключаются в выработке на основе нейрофизиологических данных адекватных динамических образов ключевых явлений, происходящих в нейронных системах, построении на их основе базовых моделей и исследовании динамики этих моделей. Можно ожидать, что подход позволит не только описать, объяснить и предсказать возможные пространственно-временные процессы в отдельных нейронных ансамблях, но и установить динамические механизмы работы нейронных систем на системном уровне. Эти механизмы особенно важны для разработки информа-

ционно-вычислительных систем нового поколения, основанных на нейродинамических принципах.

1.2. Основные свойства нейронов

Типичный нейрон, или нервная клетка, состоит (см., например, [5–8]) из тела клетки, многочисленных отростков в виде тонких трубчатых волокон — дендритов — и одного значительно более длинного отростка — аксона. От внешней среды нейрон отделен биологической мембраной. В состоянии покоя разность потенциалов (далее просто мембранный потенциал) между внутриклеточной средой и наружной поверхностью мембраны имеет отрицательное значение (порядка -60 – 80 мВ), называемое потенциалом покоя. Дендриты осуществляют прием сигналов от других нейронов, а аксон передает сгенерированные нейроном сигналы другим нейронам. Аксон заканчивается многочисленными терминальными волокнами, которые могут контактировать с дендритами, аксоном или телом другого нейрона. Этот контакт осуществляют специальные устройства — синапсы. Синапс состоит из двух мембран (пресинаптической и постсинаптической) контактирующих нейронов и так называемой синаптической щели — зазора, разделяющего эти мембранны. Синапсы делятся на электрические и химические. В электрическом синапсе пресинаптическая и постсинаптическая мембранны имеют непосредственный контакт, что обеспечивает прямой обмен ионами. Результатом этого процесса является выравнивание мембранных потенциалов контактирующих нейронов.

Химические синапсы характеризуются биохимическими процессами, возникающими в синаптической щели и контактирующих мембранных. Если в результате действия внешнего стимула или внутриклеточных процессов потенциал нейрона превысит некоторое критическое значение (порог возбуждения), то происходит генерация нейроном электрического импульса (величина амплитуды порядка $+50$ мВ, характерный временной масштаб порядка нескольких миллисекунд), который называется потенциалом действия. После генерации потенциала действия нейрон переходит в так называемое состояние рефрактерности, характеризующееся невосприимчивостью к внешним воздействиям. Через аксон и терминальные волокна потенциал действия поступает в синаптическое окончание, что приводит к выделению особого химического вещества — нейромедиатора — в синаптическую щель. Достигнув постсинаптической мембранны, нейромедиатор изменяет ее проницаемость для различных ионов, что в свою очередь вызывает изменение постсинаптического мембранных потенциала. При этом постсинаптический потенциал либо приближается к порогу возбуждения, либо, наоборот, удаляется от него. В первом случае синапс называется возбуждающим, а во втором — тормозящим (подавляющим). Отклик нейрона на действие входных сигналов имеет интегральный характер: когда совокупное действие возбуждающих и подавляющих входных воздействий достигает порогового значения, нейрон генерирует отклик, который через аксон и синапсы передается на другие нейроны. Химические синапсы передают возбуждение с некоторой задержкой во времени, связанной с процессами в синаптическом зазоре.

1.3. Типичные формы нейронной активности

Форма электрической активности нейронов изменяется в очень широких пределах. Нейрон может генерировать одиночный потенциал действия — спайк (рис. 1а), "залпы" спайков, возникающих на волне деполяризации, — бёрстовые колебания (рис. 1б), разнообразные периодические колебания (рис. 1в), хаотические последовательности бёрстов (рис. 1г) и др. Коллективные режимы нейронной активности также очень многообразны. В нейронных системах возможно распространение нелинейных волн (рис. 1д), образование кластеров активности — групп нейронов, одновременно генерирующих потенциалы действия на фоне относительного покоя других соседних нейронов (рис. 1е), формирование и распространение локализованных структур и др.

1.4. Динамические модели нейронов

Существует достаточно большое число динамических моделей нейронов, различающихся как феноменами, на которые они ориентированы, так и полнотой использу-

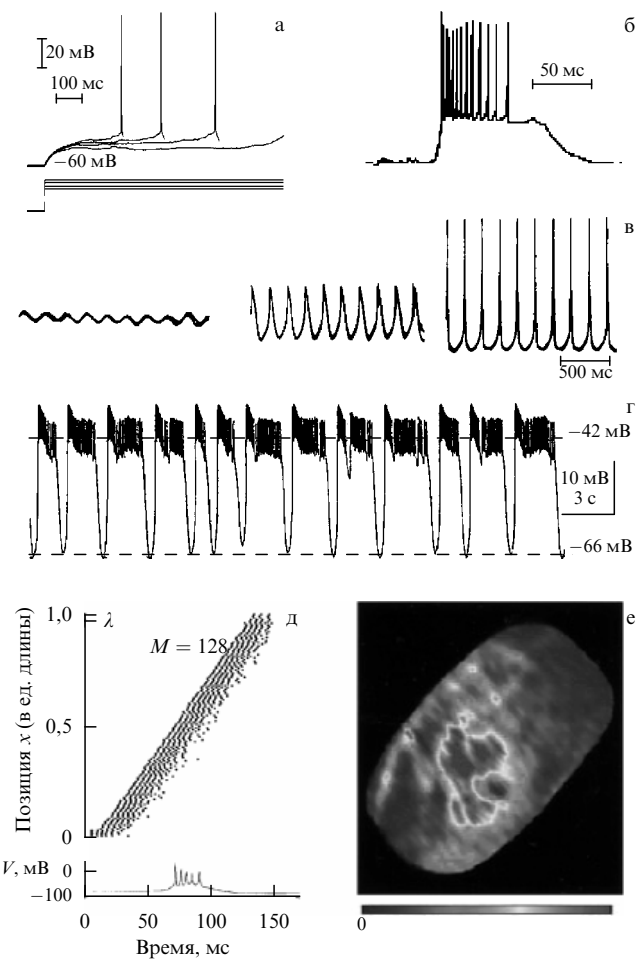


Рис. 1. (а) Генерация спайков пирамидальным нейроном зрительной коры крысы в условиях *in vitro* [15]. (б) Бёрстовые колебания ретикулярного нейрона [15]. (в) Три вида активности нейронов нижних олив: подпороговые колебания, импульсы с низкого и высокого порогов. Данные получены с нейронов нижних олив морской свинки на срезе в условиях *in vitro* [16]. (г) Хаотические бёрстовые колебания латерального пилорического нейрона [17]. (д) Волны "разряда" в коре головного мозга [18]. (е) Кластеры в ансамбле нейронов нижних олив [19]. Градацией цвета показано распределение мембранных потенциала в ансамбле.

вания данных нейрофизиологических экспериментов, лежащих в основе их построения. Можно выделить несколько характерных групп моделей.

1. Модели, использующие уравнения для ионного транспорта через мембрану. Во-первых, это, конечно, классическая модель Ходжкина — Хаксли [20] и обобщающие ее путем учета дополнительных ионных токов системы, узко ориентированные на конкретные типы нейронов. Во-вторых, упрощенные феноменологические модели, в которых действие нескольких ионных токов с одинаковыми характеристиками временными масштабами описывается одной переменной. Например, часто в модели оставляют две переменные, одна из которых описывает все медленные ионные токи, а другая — все быстрые. Типичным представителем таких моделей является система Хиндмарш — Розе [21] для описания бёрстовых колебаний. Более того, иногда действие всех ионных токов описывают всего одной, так называемой восстанавливающей переменной — модели Фитц-Хью — Нагумо [22, 23], Морриса — Лекара [24] и др.

2. Интегративно-пороговые модели (см., например, [25]). В этих системах основной акцент сделан на моделирование интегральных свойств нейронов. Система осуществляет накапливание входных сигналов, и когда их совокупное действие приводит к тому, что переменная, моделирующая мембранный потенциал, достигает порога, ей присваивается некоторое фиксированное значение, которое трактуется как спайк. После этого значение мембранныго потенциала возвращают в исходное состояние покоя.

3. Модели средних полей, которые оперируют усредненными по нейронному ансамблю переменными. Например, в модели Вилсона — Кована [26] имеются две переменные, одна из которых описывает число возбужденных, а другая — число тормозных нейронов в точке среды.

4. Фазовые модели, представляющие собой уравнения первого порядка, переменные которых являются угловыми и трактуются как фазы колебаний, — фазовый ротор [27, 28], "тета-нейрон" [29] и др. Такие, сильно упрощенные, модели обычно используются для изучения режимов синхронизации в больших нейронных ансамблях с нелокальными связями.

5. Модели в виде нелинейных точечных отображений [30–33]. Такие модели имеют дискретное время, но, в отличие от клеточных автоматов, их состояние непрерывно. По структуре эти модели более просты, чем модели, описываемые системой дифференциальных уравнений. Установлено, что с помощью точечных отображений можно моделировать многие режимы нейронной активности, но особенно привлекательным представляется их использование при исследовании хаотических колебаний нейронов.

Этот список моделей, конечно, далеко не полон, однако, на наш взгляд, он дает достаточное представление об основных целях и идеях динамического подхода в исследовании активности нейронов.

Построение моделей нейронных систем, кроме моделей отдельных нейронов, требует также динамического описания синаптических связей и общей архитектуры системы. Наиболее просто осуществляется моделирование электрических синапсов (см., например, [7]), действие которых основано на существовании между контактирующими нейронами так называемых гэп-контактов.

Такой контакт приводит к обобществлению клеточной мембранны между нейронами в некоторой узкой области. Поэтому ток синаптической связи определяется сопротивлением контакта и разностью потенциалов между нейронами и моделируется обычным законом Ома. Химические синапсы, как правило, описываются (см., например, [14, 34]) специальными дифференциальными уравнениями для параметров синапсов, содержащими пороговые нелинейные функции. Архитектура динамических моделей отражает организацию реальных нейронных систем и варьируется в широких пределах — от ансамблей из небольшого числа нейронов до многослойных нейронных сетей и популяций, состоящих из большого числа элементов, соединенных многочисленными и нелокальными связями.

2. Колебательно-волновая динамика ансамбля нейронов Фитц-Хью – Нагумо с нелинейным восстановлением

Одной из ключевых проблем динамики нейронных систем является изучение формы и механизмов распространения активности, локально возникающей в некоторой части системы. Рассмотрим [35, 36] эту проблему в случае ансамбля нейронов Фитц-Хью – Нагумо (ФХН), связанных посредством электрических синапсов и локализованных в узлах одномерной пространственной решетки (цепочки). Коллективное поведение такого нейронного ансамбля описывается системой уравнений

$$\begin{aligned} \dot{u}_j &= f(u_j) - v_j + d(u_{j-1} - 2u_j + u_{j+1}), \\ \dot{v}_j &= \varepsilon(g(u_j) - v_j - I), \\ j &= 1, 2, \dots, N, \quad u_0(t) \equiv u_1(t), \quad u_{N+1}(t) \equiv u_N(t), \end{aligned} \quad (1)$$

где j — номер элемента-нейрона, N — число элементов в ансамбле, переменная u_j качественно описывает динамику мембранныго потенциала j -го нейрона, v_j — совокупность действия всех ионных токов, проходящих через мембрану этого нейрона и отвечающих за восстановление состояния покоя мембранны. Параметр d моделирует действие электрического синапса и характеризует величину взаимодействия между нейронами. Параметр I контролирует уровень деполяризации мембранны, ε ($\varepsilon > 0$) — скорость изменения ионных токов, $f(u)$ — кубическая функция, а $g(u)$ — монотонно-возрастающая функция, которые для определенности зададим [37] соответственно в виде: $f(u) = u - u^3/3$, $g(u) = \alpha u$, если $u < 0$, и $g(u) = \beta u$, если $u \geq 0$, где α и β ($\alpha, \beta > 0$) описывают нелинейную зависимость ионных токов от мембранныго потенциала клетки (нелинейное восстановление).

Выберем [37, 38] параметры элемента системы (1) так, чтобы он обладал возбудимыми свойствами (рис. 2а). В этом случае на фазовой плоскости (u, v) отдельного элемента существуют устойчивое состояние равновесия A_1 , соответствующее состоянию покоя нейрона, седло A_2 , устойчивая сепаратриса W^s которого определяет порог возбуждения нейрона, и неустойчивое состояние равновесия A_3 . При появлении внешнего стимула, превышающего порог возбуждения, на фазовой плоскости (u, v) (после окончания действия стимула) возникает траектория, возвращающаяся в A_1 , охватывая состоя-

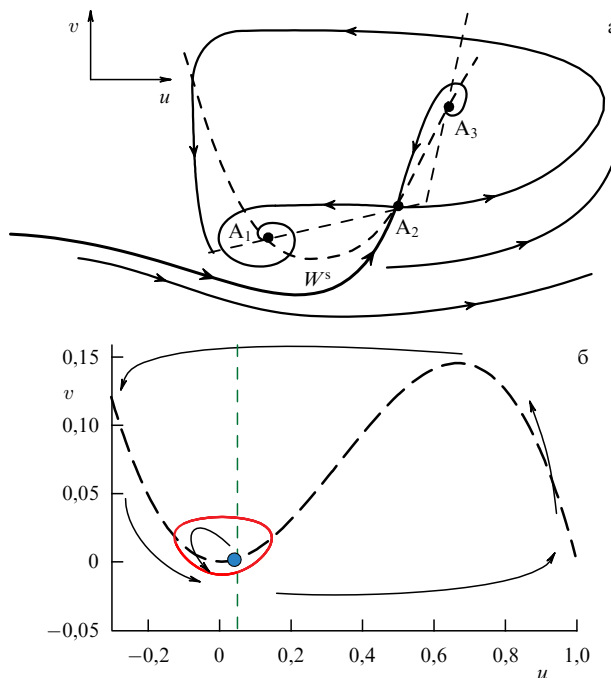


Рис. 2. (а) Фазовый портрет элемента-нейрона ансамбля (1). (б) Фазовая плоскость системы (4).

ние равновесия A_3 (рис. 2а). Этой траектории отвечает одиничный импульс возбуждения (спайк) нейрона, форма которого контролируется параметром ε .

2.1. Хаотическое возбуждение ансамбля

Поскольку активные элементы системы (1) расположены в узлах одномерной пространственной решетки, индекс j играет роль пространственной координаты и динамика системы (1) является пространственно-временной. Рассмотрим распространение активности в системе (1) в форме волновых паттернов, характерные пространственные масштабы которых значительно превосходят пространственные масштабы самой системы, — на характерной длине паттерна укладывается достаточно большое число элементов решетки. В таком приближении динамика волновых паттернов описывается системой уравнений

$$\begin{aligned} \dot{u} &= y, \\ \dot{y} &= \frac{c^2}{d} (y - f(u) + v), \\ \dot{v} &= g(u) - v - I, \end{aligned} \quad (2)$$

где точкой обозначено дифференцирование по $\xi = t - j/c$ — бегущей координате.

Покажем, что сложные волновые паттерны ансамбля (1) ассоциируются с существованием [39] у системы (2) гетероклинических контуров, образованных сепаратрисами многообразиями состояний равновесия системы (2). Для значений параметров, при которых элементы ансамбля (1) демонстрируют динамику, представленную на рис. 2а, система (2) имеет три состояния равновесия типа седло-фокус. Два из этих состояний равновесия, O_1 и O_3 , имеют неустойчивое одномерное и устойчивое двумерное многообразия, а состояние равновесия O_2 , наоборот, имеет устойчивое одномерное и неустойчивое двумерное многообразия (рис. 3а, г).

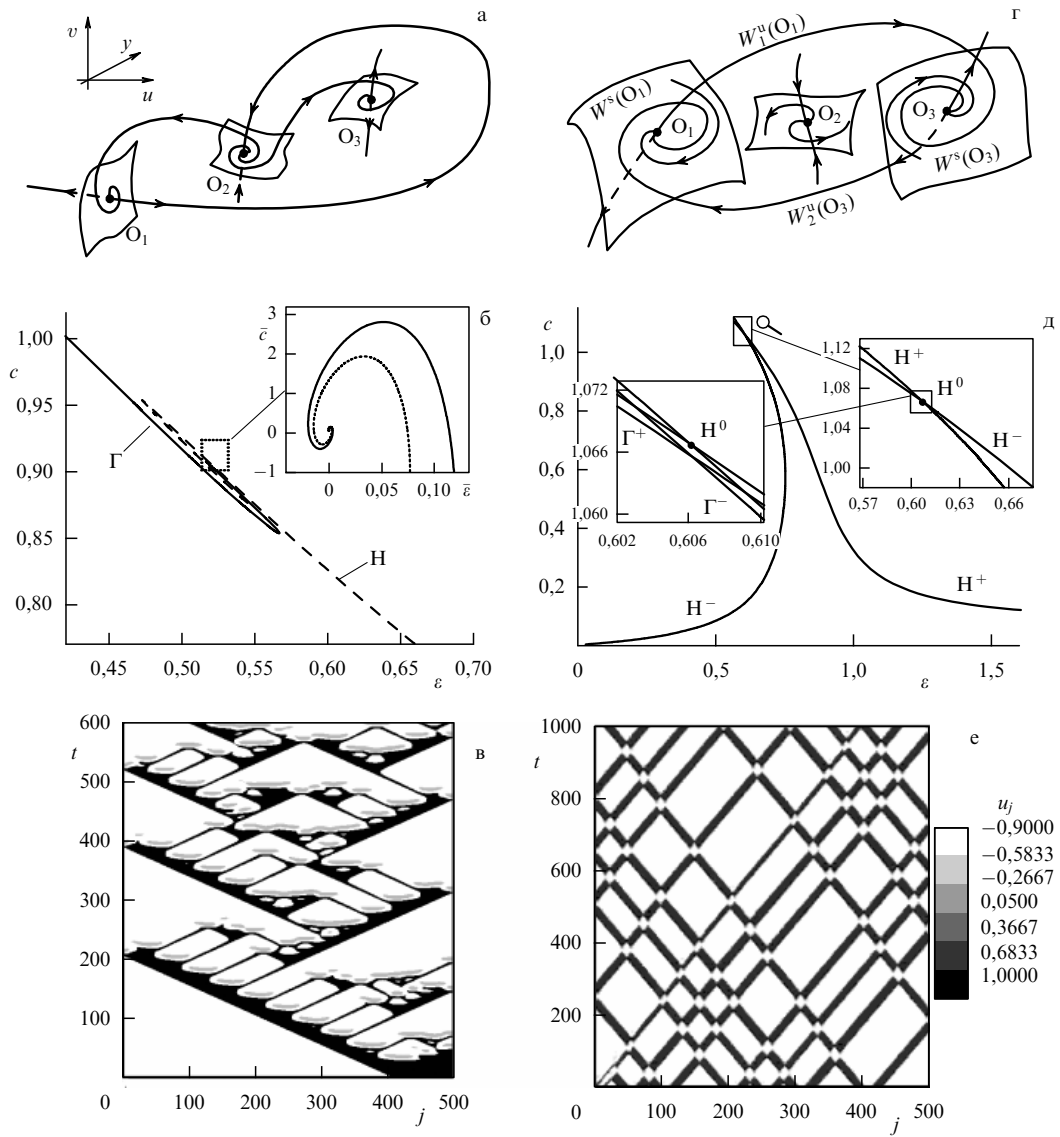


Рис. 3. (а) Гетероклинический контур, соответствующий бифуркационному множеству С. (б) Зависимость скорости распространения импульсов (кривая Г) и волновых фронтов (кривая Н) в ансамбле (1). Параметры: $\alpha = 0,5$, $\beta = 2$, $I = 0,2$. (в) Пространственно-временной хаос в ансамбле (1). Параметры: $\alpha = 0,5$, $\beta = 2$, $I = 0,2$, $d = 1$, $\epsilon = 0,57$. (г) Гетероклинический контур, соответствующий бифуркационному множеству H^0 ($\epsilon^0 = 0,60593$, $c^0 = 1,0664$). Параметры: $\alpha = 0,9$, $\beta = 0,8$, $I = 0,24$, $d = 1$. (д) Зависимость скорости распространения волновых фронтов (кривые H^+ , H^-) и импульсов (кривые Γ^+ , Γ^-). Параметры те же, что и в случае рис. г. (е) Пространственно-временная диаграмма активности ансамбля (1). Параметры: $\alpha = 0,9$, $\beta = 0,9$, $I = 0,024$, $d = 1$, $\epsilon = 0,585$.

Исследование системы (2) показало, что траектории инвариантных многообразий этих состояний равновесия могут образовывать гомоклинические и гетероклинические орбиты, когда параметры принадлежат некоторым бифуркационным множествам. Более того, было обнаружено, что в пространстве параметров системы (2) существует бифуркационное множество С коразмерности 2, которому в фазовом пространстве соответствует гетероклинический контур, представленный на рис. 3а. На плоскости параметров (ϵ, c) это множество представляет собой точку С (рис. 3б), к которой асимптотически приближаются две бифуркационные кривые Г и Н, имеющие форму спиралей с центром в этой точке. Точкам кривой Г соответствуют гомоклинические траектории, образованные одномерной сепаратрисой точки O_1 , которая возвращается в O_1 , "охватывая" точку O_3 . При этом по мере движения по Г к точке С сепаратриса совершает постоянно увеличивающееся число осцилля-

ций в окрестности точки O_2 . Точкам множества Н соответствуют гетероклинические траектории, образованные сепаратрисой седло-фокуса O_1 , асимптотически приближающейся к точке O_3 . Здесь также при изменении параметров по Н к центру спирали сепаратриса осциллирует в окрестности точки O_3 . Поскольку гомоклинические траектории являются двояко-асимптотическими по отношению к одному и тому же состоянию равновесия, то в ансамбле (1) им соответствуют [39] нелинейные волны в виде бегущих импульсов. Гетероклиническим траекториям, "соединяющим" различные состояния равновесия, соответствуют [39] волновые фронты ансамбля. Профили волн зависят от осцилляторных свойств соответствующих траекторий. При движении вдоль кривых Г и Н к точке С профили волновых движений усложняются и для значений параметра вблизи центра спиралей система (1) имеет одновременно счетное множество разнообразных волновых движений. Поскольку ветви

спиралей Г и Н тесно прижаты друг к другу, скорости волн мало различаются. Существование большого числа различных волновых движений в этой области параметров ведет к формированию сложных волновых структур в системе (1).

Было установлено, что устойчивыми могут быть лишь импульсы, имеющие наименьшую скорость (нижняя ветвь кривой Г на рис. 3б). Все другие бегущие волны, в том числе импульсы сложной формы и все волновые фронты, оказались неустойчивыми. Это вполне ожидаемый результат, так как в рассматриваемой области параметров пространственно-однородные состояния O_2 и O_3 неустойчивы. На рисунке 3в представлена пространственно-временная диаграмма, показывающая один из типичных сценариев распространения активности в ансамбле (1). Значение параметра ε было выбрано вблизи первой точки поворота кривой Г (рис. 3б), а начальная активность ансамбля имеет форму волнового фронта. В силу неустойчивости этот фронт распадается на серию импульсов возбуждения, которые с течением времени также теряют устойчивость и распадаются на пару волновых фронтов или импульсов, которые затем по мере развития неустойчивости распадаются на очередную пару импульсов и т.д. (рис. 3б). Результатом таких волновых неустойчивостей является пространственно-временной хаос, развивающийся как следствие существования счетного числа неустойчивых бегущих волн. Другими словами, система переходит из окрестности одной неустойчивой волны в окрестность другой неустойчивой волны, формируя пространственно-временную структуру.

2.2. Самовоспроизводящиеся волновые паттерны

В системе (2) могут существовать [40, 41] и другие гетероклинические контуры, которым в ансамбле (1) также отвечают сложные волновые паттерны. На рисунке 3г представлен гетероклинический контур, образованный многообразиями только двух, а не трех, как в разделе 2.1, состояний равновесия O_1 и O_3 . На плоскости (ε, c) этот контур существует в точке H^0 (рис. 3д), где смыкаются бифуркационные кривые H^+ и H^- , соответствующие гетероклиническим траекториям, образованным сепаратрисами $W_1^u(O_1)$ и $W_2^u(O_3)$ (рис. 3г) состояний равновесия O_1 и O_3 . Кроме этого, в окрестности точки H^0 существуют бифуркационные кривые Γ^+ и Γ^- (рис. 3д), которым отвечают гомоклинические траектории, сформированные соответственно сепаратрисами $W_1^u(O_1)$ и $W_2^u(O_3)$ седло-фокусов O_1 и O_3 . При этом как в момент существования, так и при разрушении этих гомоклинических траекторий в фазовом пространстве системы (2) существует нетривиальное гиперболическое множество, включающее в себя бесконечное множество периодических траекторий и др. Следовательно, для значений параметров из окрестности H^0 система (2) для бегущих волн демонстрирует чрезвычайно сложную динамику и можно ожидать, что и пространственно-временное поведение ансамбля (1) в этом случае будет нетривиальным. Результаты численного моделирования подтвердили справедливость этого утверждения. Для значений параметра ε из окрестности точки $\varepsilon = \varepsilon^0$ (рис. 3д) волновые импульсы и фронты "проходят" сквозь друг друга и отражаются от границы, подобно классическим солитонам. В результате такого поведения в ансамбле (2) образуются сложные волновые

паттерны, обладающие свойством "самовоспроизведения". На рисунке 3е представлено формирование и распространение таких волновых паттернов активности, возникающих из нескольких областей локального возбуждения ансамбля.

3. Кластеры активности и фазовая автопереустановка

При изучении колебательных свойств нейронных систем важнейшей информационной характеристикой является фаза колебаний. Именно фаза колебаний определяет моменты возникновения импульсов действия — спайков, которые, как считается, являются основой "нейронного кода", осуществляя также различные функции передачи и преобразования информации. Так, например, нейроны нижних олив, составляющие основу оливо-мозжечковой системы, демонстрируют квазипериодические колебания ниже порога возбуждения (левая часть рис. 1в) с фиксированными амплитудой (5–10 мВ) и частотой (8–12 Гц) [16]. При изменении уровня деполяризации нейрона нижних олив на пиках (максимумах) подпороговых колебаний возникают импульсы возбуждения. Существует два различных порога возбуждения. При достижении первого (низкого) порога на каждом пике подпороговых колебаний нейрон генерирует широкий импульс с относительно малой амплитудой (~ 20 мВ) (центральная часть рис. 1в). Появление таких импульсов определяется в основном токами ионов Ca^{2+} . При достижении второго порога нейрон генерирует мощные (~ 60–120 мВ) узкие импульсы (правая часть рис. 1в), в формирование которых преувеличивающий вклад вносят токи ионов Na^+ . Поскольку импульсы возбуждения нейрона нижних олив возникают на максимумах подпорогового сигнала, моменты их возникновения однозначно определяются фазой колебаний.

Таким образом, структуры коллективной активности нейронов нижних олив можно классифицировать как фазовые кластеры [42]. Согласно представлениям нейрофизиологов эти фазовые кластеры определяют моторные паттерны, задающие шаблоны мышечных сокращений [43, 44]. Например, синфазные колебания нейронов определяют одновременное появление импульсов действия — спайков — и, следовательно, синхронное сокращение определенных групп мышц. Изменение фазы колебаний нейрона нижних олив и, как следствие, конфигурации фазовых кластеров происходит при получении системой сенсорного или командного стимула.

На рисунке 4а представлена серия откликов нейрона нижних олив на действие внешнего стимула. Каждый раз входной стимул изменяет фазу подпороговых колебаний, но так, что колебания всегда возвращаются в одинаковую фазу, значение которой не зависит от момента прихода стимула (исходной фазы) и определяется только амплитудой и длительностью стимула. Этот эффект по аналогии с автоколебаниями получил название [45, 46] фазовой переустановки.

3.1. Динамическая модель

и основные режимы нейрона нижних олив

Для объяснения динамических механизмов активности нейрона нижних олив в [46] была введена следующая феноменологическая модель:

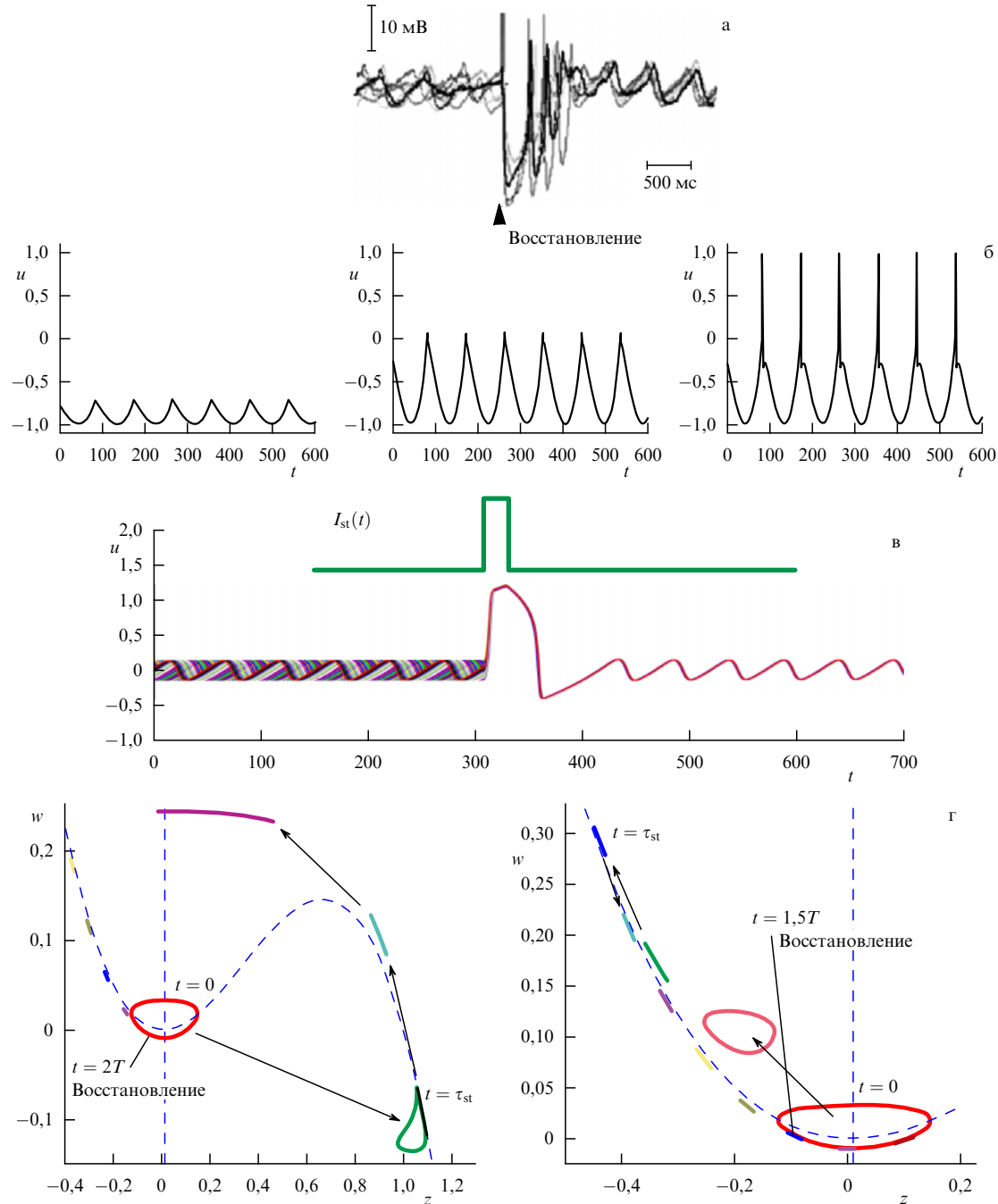


Рис. 4. (а) Фазовая автопереустановка в нейронах нижних олив. Экспериментальные данные исследования срезов ствола головного мозга крысы [19]. (б) Колебания нейронов нижних олив, полученные в модели (3), (4). (в) Фазовая автопереустановка в системе (4). Временные реализации для различных начальных условий, синхронизованные относительно импульса-стимула. Параметры: $A_{st} = 1,15$, $\tau_{st} = 0,4 T$, где T — период подпороговых колебаний. (г) Динамический механизм фазовой автопереустановки на фазовой плоскости (z, w) . Преобразование замкнутой кривой, отвечающей предельному циклу под действием стимула. Последовательность мгновенных снимков ста начальных условий, равномерно распределенных по предельному циклу до начала действия стимула. Левая часть рисунка соответствует действию возбуждающего ($A_{st} = 1,15$, $\tau_{st} = 0,4 T$) стимула, а правая — действию подавляющего стимула ($A_{st} = -1$, $\tau_{st} = 0,4 T$).

$$\frac{du}{dt} = f(u) - v, \quad (3)$$

$$\frac{dv}{dt} = v - d(z - I_{Ca} - I_{Na}),$$

$$\frac{dz}{dt} = f(z) - w, \quad (4)$$

$$\frac{dw}{dt} = \varepsilon_{Ca}(z - I_{Ca} - I_{st}(t)).$$

Модель представляет собой совокупность двух взаимодействующих блоков, динамика которых определяется переменными (z, w) и (u, w) соответственно. Первый блок — система (4) — описывает сравнительно медленные процессы в мембране нейрона, определяемые кальциевым компонентом ионных токов. Эта система формирует квазисинусоидальные подпороговые колебания нейрона. Второй блок — система (3) — описывает генерацию потенциалов действия (спайков). В этих

процессах определяющую роль играют натриево-калиевые компоненты ионных токов. Нелинейная функция f имеет вид $f(x) = x(x - a_{\text{Ca}, \text{Na}})(1 - x)$, $0 < a_{\text{Ca}, \text{Na}} < 1$. Параметры $I_{\text{Ca}, \text{Na}}$ характеризуют уровни деполяризации и управляют порогом возбуждения соответствующих компонентов модели. Параметр k регулирует относительные временные масштабы блоков. Взаимодействие между блоками управляется параметром связи d , а сама связь между блоками является односторонней. Параметры системы (3), (4) выбираются таким образом, чтобы в системе (4) генерировались квазистационарные автоколебания, соответствующие предельному циклу (рис. 2б) в окрестности бифуркации Андронова – Хопфа. Система (3) находится в возбудимом режиме и генерирует короткие импульсы возбуждения при превышении определенного порога. Функция $I_{\text{st}}(t)$ описывает действие внешней стимуляции.

При отсутствии стимула ($I_{\text{st}} \equiv 0$) система (4), задающая основной колебательный ритм модели, осуществляет воздействие на систему (3) периодическим сигналом. Следовательно, динамика (3) является неавтономной и может быть описана с помощью точечного отображения Пуанкаре, построенного по траекториям этой системы. Численное исследование отображения Пуанкаре показало существование параметров, при которых система (3) имеет в трехмерном неавтономном фазовом пространстве устойчивое периодическое движение. Поскольку $\varepsilon_{\text{Na}} \ll 1$, динамика системы (3) является релаксационной — переменная v с течением времени изменяется значительно медленнее, чем переменная u .

Следствием такого поведения переменных является разделение трехмерного фазового пространства системы (3) на области медленных и быстрых движений. В зависимости от величины коэффициента связи периодическое движение системы (3) либо целиком локализовано в области медленных движений, либо состоит из участков, принадлежащих областям быстрых и медленных движений. Существует два пороговых значения коэффициента d , определяющих число областей медленных и быстрых движений, участвующих в формировании периодической траектории системы (3). Ниже первого порога периодическая траектория системы (3) целиком локализована в области медленных движений и ей соответствуют периодические колебания, форма которых близка к синусоидальной, и они являются синфазными колебаниями первого блока. В этом случае колебания (левая часть рис. 4б) системы (3) моделируют подпороговые колебания нейрона нижних олив. Преодоление первого порога приводит к тому, что периодическая траектория системы (3), кроме участка, принадлежащего области медленных движений, будет иметь также участок из области быстрых движений. Такой периодической траектории будут соответствовать колебания, у которых на каждом максимуме подпороговых колебаний имеются короткие импульсы (центральная часть рис. 4б). Эти колебания можно трактовать как импульсы возбуждения с низкого порога (Ca^{2+} -импульс) нейрона нижних олив. Выше второго порога периодическая траектория системы (3) имеет два участка медленного поведения, "соединенных" участком быстрых движений. Причем время прохождения второй области медленных движений значительно меньше, чем первой, формирующей "подпороговый пьедестал". В этом случае периодической траектории системы (3)

соответствуют колебания, на пиках которых генерируются импульсы (правая часть рис. 4б) с амплитудой, в несколько раз превышающей импульсы с низкого порога. Такие колебания достаточно хорошо описываются двухпороговую генерацию (Na^+ -импульса) нейрона нижних олив.

Таким образом, система (3), (4) позволяет моделировать все основные режимы активности нейронов нижних олив и результаты находятся в хорошем качественном соответствии с экспериментальными данными (ср. рис. 4б и рис. 1в).

3.2. Фазовая автопереустановка

Система (3), (4), кроме режимов активности нейрона нижних олив, позволяет также моделировать [45–47] эффект фазовой автопереустановки (рис. 4а). Поскольку подпороговые колебания и моменты генерации импульсов синфазны с колебаниями первого блока, эффект фазовой автопереустановки фактически связан с динамикой системы (4), испытывающей действие внешнего стимула.

Пусть стимул $I_{\text{st}}(t)$ имеет вид одиночного импульса с амплитудой A_{st} и длительностью τ . Прежде всего заметим, что после окончания действия импульса система (4) имеет фазовый портрет, представленный на рис. 2б, и, следовательно, амплитуда и частота ее колебаний "восстанавливаются", принимая значения, определяемые предельным циклом этой системы. Однако из-за действия внешнего стимула фаза вновь установившихся колебаний поменяет свое некоторое начальное значение φ_1 на новое φ_2 .

Будем изменять начальную фазу φ_1 в интервале $[0, 2\pi]$. На рисунке 4в представлены временные реализации колебаний системы (4) при различных начальных фазах, которые показывают, что фаза установившихся колебаний оказывается практически одной и той же при любых значениях начальной фазы. Для характеристики распределения переустановленных фаз была построена [45, 47] зависимость стандартного отклонения $\delta\varphi$ разброса этих фаз (нормированного на единицу) от амплитуды импульса-стимула. Было рассмотрено сто различных начальных фаз колебаний. Оказалось, что эта зависимость описывается некоторой колоколообразной функцией с быстро спадающими "хвостами". При достаточно малой амплитуде импульса фазовой переустановки не происходит, фазовая переменная остается распределенной в интервале $[0, 2\pi]$ и $\delta\varphi \approx 1$. При преодолении амплитудой A_{st} порогового значения происходит сильная локализация переустановленных фаз около некоторого среднего значения $\varphi^*(A_{\text{st}})$. При этом значение $\delta\varphi$ резко уменьшается и далее монотонно убывает до нуля (например, $\delta\varphi \approx 0,02$ для $A_{\text{st}} = 3$). Отметим, что фазовая переустановка имеет место как для положительной амплитуды импульса, $A_{\text{st}} > 0$ (рис. 4в), так и для отрицательной, $A_{\text{st}} < 0$. Другими словами, переустановка происходит как в случае возбуждающего стимула, так и в случае подавляющего (тормозящего) воздействия на нейрон. Однако "точность" переустановки выше для возбуждающего импульса.

Поскольку значение $\varphi(A_{\text{st}})$ может принимать любое значение в интервале $[0, 2\pi]$, выбором соответствующей амплитуды импульсного воздействия можно установить любое наперед заданное значение фазы колебаний системы (3), (4), независимо от того, какая фаза колеба-

ний была до стимуляции. В основе динамического механизма фазовой автопереустановки лежит эффект сильного сжатия фазового объема (рис. 4г) из-за релаксационного характера ($\epsilon_{Ca} \ll 1$) системы (4). В результате в этой системе фактически происходит "забывание" начальных условий.

3.3. Фазовые кластеры заданной конфигурации

Рассмотрим [46, 47] ансамбль невзаимодействующих нейронов нижних олив, каждый из которых описывается системой (3), (4). Эффект фазовой автопереустановки позволяет формировать в таком ансамбле фазовые кластеры любой перед заданной пространственной конфигурации. Путем соответствующего выбора интенсивности стимула фаза каждого элемента может быть установлена равной требуемому значению, независимо от текущего состояния.

Процесс формирования фазовых кластеров иллюстрирует рис. 5. При воздействии стимула фазы элементов группируются согласно стимулу "клеточной" конфигурации. Заметим, что для формирования кластеров не требуется непосредственного взаимодействия между элементами. Такое взаимодействие может быть введено для поддержания заданной конфигурации в течение времени, когда стимул отсутствует. Подобным образом, например, функционирует [16] оливо-мозжечковая система.

При отсутствии стимула нейроны нижних олив взаимодействуют через гэп-контакт, что приводит к их взаимной синхронизации. При поступлении стимула за счет тормозящей петли обратной связи происходит подавление гэп-контакта и устанавливаются требуемые значения фаз элементов под воздействием сенсорного стимула (рис. 4а). Формируемый таким образом моторный паттерн любой сколь угодно сложной пространственной конфигурации задает требуемый синхронизм мышечных сокращений. Группы мышц, отвечающие фазовому кластеру, сокращаются одновременно.

Таким образом, эффект фазовой автопереустановки фактически является сенсомоторным преобразова-

нием, при котором интенсивность сенсорного стимула конвертируется в шаблон мышечных сокращений, управляющий движением.

4. Нейродинамическая система контроля и координации движений

Как уже отмечалось в разделе 3, нейроны нижних олив являются важным элементом оливо-мозжечковой системы, осуществляющей контроль и координацию движений, определяя универсальный ритм мышечных сокращений. Согласно [43, 48] любое движение происходит не непрерывно, а в некотором смысле (кинематическом) последовательно, т.е. имеет характерный временной масштаб, определяемый частотой подпороговых колебаний ≈ 10 Гц. Наличие такого масштаба означает, что первая система с помощью оливо-мозжечковой системы осуществляет контроль над сокращением мышц не чаще, чем через временной интервал 100 мс, что позволяет, во-первых, сократить "вычислительные ресурсы", необходимые для контроля над движением; во-вторых, придать движению определенную "эластичность", обеспечить возможность адаптации к внешним условиям, точной настройки и т.д. Одним из ключевых динамических механизмов оливо-мозжечковой системы, осуществляющей реализацию функций контроля и управления, является способ формирования фазовых кластеров заданной конфигурации в ансамбле нейронов нижних олив посредством эффекта фазовой переустановки. На основе этого механизма и динамической модели (3), (4) была предложена [46, 49] нейродинамическая схема дискретного контроля и координации движений автономных машин-роботов (рис. 6а).

Основной задачей системы контроля шагающего робота (например, имеющего шесть конечностей) является обеспечение стабильности машины при движении по неровной поверхности. Идея предложенной системы управления заключается во введении блока дискретного контроля, отражающего функции нейронов нижних олив. В данном случае блок был реализован с помощью модели одного нейрона (3), (4). Функция его состоит в следующем. Он генерирует контрольные импульсы с определенной частотой (10 Гц). В промежутках между импульсами конечности адаптируются к условиям поверхности самостоятельно благодаря различным локальным механизмам автоподстройки, которые мы здесь не рассматриваем. В моменты появления импульсов осуществляется контроль над положением конечностей и восстановление фазовых соотношений ("шаблона движения"), обеспечивающих стабильный режим ходьбы. В частности, для устойчивости шестиконечного робота в каждый момент времени три его конечности должны находиться на поверхности. Предположим, что каждая из конечностей управляет некоторым квазипериодическим сигналом и фаза этого сигнала однозначно определяет положение ноги робота в каждый момент времени. Тогда действие системы контроля сводится к взаимной координации шести фазовых переменных. Для этих целей введем следующую динамическую систему

$$\dot{\varphi}_i = h\Phi(t, t_k, \Delta t)(\varphi_i^* - \varphi_i) - \xi_i, \quad i = 1, 2, \dots, 6, \quad (5)$$

где φ_i — фаза соответствующей конечности, φ_i^* — "опорная" фаза, задаваемая в соответствии с выбранным шаблоном движения. Функция Φ , которая модели-

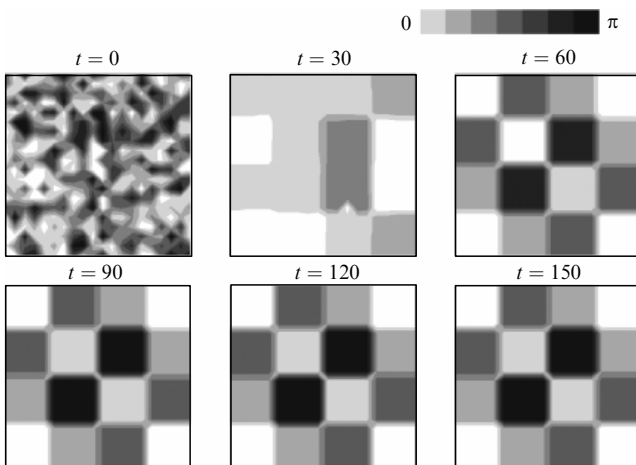


Рис. 5. Формирование фазовых кластеров посредством фазовой автопереустановки в ансамбле (20×20) невзаимодействующих элементов-нейронов нижних олив (3), (4). В начальный момент на элементы со случайно распределенными фазами одновременно действует одиничный импульс-стимул длительностью $\tau_{st} = 0,4 T$. Градацией цвета показано распределение фаз колебаний в ансамбле.

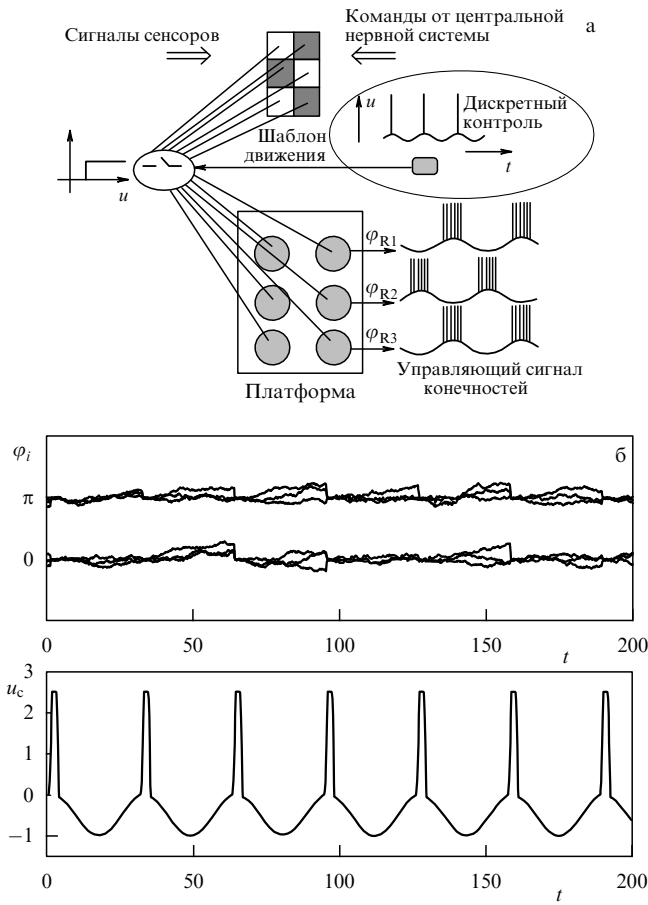


Рис. 6. (а) Схема дискретного контроля движения шагающего робота, основанная на эффекте фазовой автопереустановки. (б) Контроль фаз конечностей шестиногого робота: фазы принадлежат двум группам, различающимся на π (верхняя часть рис. б). В нижней части рис. б представлен контрольный сигнал.

рует действие блока дискретного контроля, имеет вид

$$\Phi(t, t_k, \Delta t) = \begin{cases} 0, & t < t_k, \\ 1, & t_k < t < t_k + \Delta t, \end{cases} \quad (6)$$

где t_k — момент прихода k -го контрольного импульса, генерируемого системой (3), (4) на максимумах подпороговых колебаний с периодом T_c . Длительность действия системы контроля после каждого импульса t достаточно мала, $t \sim 0,1T_c$. Величины ξ_i — случайные величины, некоррелированные между собой и равномерно распределенные в некотором интервале $[-\xi_0, \xi_0]$. Эти величины моделируют расстройки фаз конечностей, возникающие при адаптации системы к локальным неровностям поверхности за счет механизмов автоподстройки. В целом система работает следующим образом. При отсутствии контрольного сигнала фазы конечностей эволюционируют случайным образом. После прихода контрольного сигнала в течение времени Δt система восстанавливает (корректирует) фазовые соотношения согласно шаблону движения (рис. 6б). Скорость коррекции определяется параметром h . Отметим, что и остальные блоки системы контроля и координации движений (генератор ритма движения, системы автоподстройки) могут быть реализованы с помощью различных динамических систем. Например, различные шаблоны движения (фазовые соотношения движения конечностей) можно задавать с помощью бистабильных

нейродинамических систем в виде устойчивых пространственных структур бистабильных решеток [39].

5. Заключение

На наш взгляд подход, основанный на идеях и принципах нелинейной динамики, является одним из важных и эффективных направлений исследования нейронных систем. Динамические модели, построенные на основе нейрофизиологических данных и представлений, открывают широкие возможности для объяснения, предсказания и понимания динамических механизмов работы как отдельных нейронов, так и, что очень важно, нейронных ансамблей и сетей сложной архитектуры. Эти механизмы могут служить основой для построения искусственных систем распознавания образов, систем управления, информационно-вычислительных систем нового поколения и др. В частности, многообещающим выглядит моделирование процессов ассоциативной памяти, пространственно-временной селекции, построение систем управления, контроля и координации движений автономных машин-роботов с использованием принципов нейродинамики и др.

Отметим несколько ключевых динамических механизмов, представленных в этом докладе, которые раскрывают возможности обсуждаемого подхода.

1. Представленное в докладе исследование цепочки электрически связанных элементов-нейронов с нелинейным восстановлением показало, что такая система способна формировать различные (в том числе и хаотические) пространственно-временные структуры активности. Эти структуры представляют собой импульсы и фронты возбуждения, неустойчивость которых приводит к установлению в системе самоподдерживающихся колебаний с определенной пространственной конфигурацией. При этом каждый из элементов генерирует последовательность импульсов возбуждения с различным интервалом следования. Такие структуры, с одной стороны, показывают возможность появления колебаний в ансамблях, элементы которых не являются автоколебательными (затухающие колебания ниже порога возбуждения). С другой стороны, колебания элементов ансамбля оказываются "офазированными" между собой определенным образом согласно пространственно-временному паттерну и фактически формируют некоторые информационные последовательности импульсов, в которых информация кодируется в изменяющемся межспайковом интервале.

2. На основе эффекта фазовой автопереустановки можно синхронизовать колебания нейронных ансамблей. Для такой, стимул-индукцированной, синхронизации не требуется непосредственного контакта, связи между элементами. Таким образом, нейроны, находящиеся на значительном удалении друг от друга, могут быть эффективно синхронизованы единным импульсным (сенсорным) стимулом.

3. С помощью стимулов, имеющих различную интенсивность, можно формировать кластерные структуры спайковой активности. Такие структуры ассоциируются, например, с моторными паттернами, формируемыми оливо-мозжечковой нейронной системой. Элементы с одинаковой фазой колебаний определяют синхронное сокращение различных групп мышц моторной системы.

4. На основе разработанной модели нейрона нижних олив предложена система контроля и координации движений автономных машин-роботов. Основной идеей здесь является введение в систему управления блока дискретного контроля, корректирующего ошибки, возникающие за счет действия механизмов фазовой авто-переустановки при движении, например, по неровной поверхности.

Автор признателен всем соавторам своих работ, положенных в основу значительной части данного доклада. Работа поддержана грантом РФФИ (проект № 06-02-16137).

Список литературы

1. Андронов А А, Витт А А, Хайкин С Э *Теория колебаний* (М.: Физматиз, 1959) [Translated into English: Andronov A A, Vitt A A, Khaikin S E *Theory of Oscillators* (Oxford: Pergamon Press, 1966)]
2. Андронов А А и др. *Качественная теория динамических систем второго порядка* (М.: Наука, 1966) [Translated into English: Andronov A A et al. *Qualitative Theory of Second-Order Dynamic Systems* (New York: J. Wiley, 1973)]
3. Андронов А А и др. *Теория бифуркаций динамических систем на плоскости* (М.: Наука, 1967) [Translated into English: Andronov A A et al. *Theory of Bifurcations of Dynamic Systems on a Plane* (New York: J. Wiley, 1973)]
4. Андронов А А, в кн. А.А. Андронов. *Собрание трудов* (Отв. ред. М А Леонович) (М.: Изд-во АН СССР, 1956) с. 41
5. Рубин А Б *Биофизика* (М.: Книжный дом Университет, 1999)
6. Kandel E R, Schwartz J H, Jessell T M (Eds) *Principles of Neural Science* 3rd ed. (New York: Elsevier, 1991)
7. Scott A *Neuroscience: A Mathematical Primer* (Berlin: Springer, 2002)
8. Arbib M A *The Metaphorical Brain* (New York: Wiley-Intersci., 1972) [Арбид М *Метафорический мозг* (М.: Едиториал УРСС, 2004)]
9. Борисюк Г Н и др. *Математическое моделирование* **4** (1) 3 (1992)
10. Абарбанель Г Д и др. *УФН* **166** 363 (1996) [Abarbanel H D I et al. *Phys. Usp.* **39** 337 (1996)]
11. Arbib M A, Érdi P, Szentágothai J *Neural Organization: Structure, Function and Dynamics* (Cambridge, Mass.: MIT Press, 1998)
12. Чернавский Д С *УФН* **170** 157 (2000) [Chernavskii D S *Phys. Usp.* **43** 151 (2000)]
13. Борисюк Г Н и др. *УФН* **172** 1189 (2002) [Borisuk G N et al. *Phys. Usp.* **45** 1073 (2002)]
14. Rabinovich M I et al. *Rev. Mod. Phys.* **78** 1213 (2006)
15. Izhikevich E M *Dynamical Systems in Neuroscience: The Geometry of Excitability and Bursting* (Cambridge, Mass.: MIT Press, 2007)
16. Llinás R, Yarom Y *J. Physiol. (London)* **376** 163 (1986)
17. Elson R C et al. *J. Neurophysiol.* **82** 115 (1999)
18. Golomb D J. *Neurophysiol.* **79** 1 (1998)
19. Leznik E, Makarenko V, Llinás R J. *Nuerosci.* **22** 2804 (2002)
20. Hodgkin A L, Huxley A F *J. Physiol. (London)* **117** 500 (1952)
21. Hindmarsh J L, Rose R M *Proc. R. Soc. London Ser. B* **221** 87 (1984)
22. FitzHugh R *Biophys. J.* **1** 445 (1961)
23. Nagumo J, Arimoto S, Yoshizawa S *Proc. IRE* **50** 2061 (1962)
24. Morris C, Lecar H *Biophys. J.* **35** 193 (1981)
25. Tuckwell H C *Introduction to Theoretical Neurobiology* (Cambridge: Cambridge Univ. Press, 1988)
26. Wilson H R, Cowan J D *Kybernetik* **13** (2) 55 (1973)
27. Ermentrout G B, Kopell N *SIAM J. Math. Anal.* **15** 215 (1984)
28. Kuramoto Y *Chemical Oscillations, Waves, and Turbulence* (Berlin: Springer-Verlag, 1984)
29. Ermentrout G B, Kopell N *SIAM J. Appl. Math.* **46** 233 (1986)
30. Cazelles B, Courbage M, Rabinovich M *Europhys. Lett.* **56** 504 (2001)
31. Rulkov N F *Phys. Rev. E* **65** 041922 (2002)
32. Некоркин В И, Вдовин Л В *Изв. вузов. Прикладная нелинейная динамика* **15** (5) 36 (2007)
33. Courbage M, Nekorkin V I, Vdovin L V *Chaos* **17** 043109 (2007)
34. Rubin J, Bose A *Network* **15** (2) 133 (2004)
35. Kazantsev V B et al. *Phys. Rev. E* **68** 017201 (2003)
36. Казанцев В Б, Некоркин В И, в сб. *Нелинейные волны 2002* (Отв. ред. А В Гапонов-Грехов, В И Некоркин) (Н. Новгород: ИПФ РАН, 2003) с. 9
37. Kazantsev V B *Phys. Rev. E* **64** 056210 (2001)
38. Некоркин В И и др. *Математическое моделирование* **17** (6) 75 (2005)
39. Nekorkin V I, Velarde M G *Synergetic Phenomena in Active Lattices* (Berlin: Springer, 2002)
40. Некоркин В И, Щапин Д С, Дмитриев А С *Изв. вузов. Прикладная нелинейная динамика* **15** (1) 3 (2007)
41. Nekorkin V I et al. *Physica D* (submitted)
42. Henze D A, Buzsaki G *Int. Congress Ser.* **1250** 161 (2003)
43. Welsh J P et al. *Nature* **374** 453 (1995)
44. Leznik E, Makarenko V, Llinás R J. *Nuerosci.* **22** 2804 (2002)
45. Kazantsev V B et al. *Proc. Natl. Acad. Sci. USA* **101** 18183 (2004)
46. Kazantsev V B et al. *Proc. Natl. Acad. Sci. USA* **100** 13064 (2003)
47. Казанцев В Б, Некоркин В И, в сб. *Нелинейные волны 2004* (Отв. ред. А В Гапонов-Грехов, В И Некоркин) (Н. Новгород: ИПФ РАН, 2005) с. 345
48. Llinás R R *From the Vortex: From Neurons to Self* (Cambridge, Mass.: MIT Press, 2001)
49. Казанцев В Б, Некоркин В И *Изв. вузов. Прикладная нелинейная динамика* **9** (1) 38 (2001)

PACS numbers: **05.45.-a, 87.10.+e, 87.19.La**
DOI: 10.3367/UFNr.0178.200803h.0323

Моделирование и диагностика взаимодействия нелинейных колебательных систем по хаотическим временным рядам (приложения в нейрофизиологии)

Б.П. Безручко, В.И. Пономаренко,
М.Д. Прохоров, Д.А. Смирнов, П.А. Тасс

1. Введение

Задача выявления и оценки параметров взаимодействия между источниками сложных (хаотических) колебаний по временным рядам экспериментально наблюдаемых величин междисциплинарна [1–3]. Она возникает в физике, биологии, геофизике, медицине, технике. Так, анализ колебаний различных элементов механизма может указать на источник вибраций [4], а умение выявлять взаимодействия между различными областями мозга по многоканальным записям электроэнцефалограмм помогает определить положение очагов патологической активности у пациентов, страдающих эпилепсией [5]. При этом особое внимание уделяется нерегулярным сигналам, поскольку уже давно пришло осознание типичности хаотического поведения нелинейных систем [3, 6, 7].

Разнообразие специфических ситуаций, а также наличие шумов и нестационарности определили появление множества подходов к выявлению и оценке "интенсивности" связи. Эти подходы развивались в рамках математической статистики и спектрального анализа [1], теории информации [8, 9], нелинейной динамики [5, 10–12]. Среди наиболее популярных из них можно назвать расчет взаимных корреляционных функций и функций когерентности [1], анализ следования событий во временных рядах [13], оценку распределения ближайших соседей в пространстве состояний [5], определение характеристик "переноса информации" между сигналами [8]. В отличие от перечисленных методик, в которых сигналы обрабатываются "непосредственно" с помощью рабочих формул и алгоритмов, существует и "опосредованный" подход, в котором по исходным временным рядам формируются предсказа-